

УДК 533.9

## НЕЙТРОННЫЙ ИСТОЧНИК ДЛЯ ГИБРИДНОЙ (FUSION + FISSION) СИСТЕМЫ

Е. А. Забродина, Д. Г. Кошкарёв, М. Д. Чуразов  
(ИТЭФ, г. Москва)

В гидродинамическом приближении рассматриваются условия стационарного горения струи дейтерия в Z-пинчевой конфигурации. Приводятся оценки возможного использования получаемых нейтронов в гибридной (Fusion + Fission) энергетической системе.

*Ключевые слова:* гибридная энергетическая система, Z-пинч, струя дейтериевой плазмы, урановая оболочка.

### Введение

Исследования по энергетической системе тяжелоионного термоядерного синтеза привели к заключению о возможной реализации такого проекта с тяжелоионным драйвером и на дейтериево-урановом ( $^{238}\text{U}$ ) топливе, но только при очень большом масштабе процесса (энергия микровзрыва  $\sim 10$  т ТЭ<sup>1</sup> [1, 2]. Программа токамаков (ITER) разрабатывается в настоящее время в основном только для энергетической системы с DT-топливом.

Таким образом, с учетом этих соображений достаточно актуальной представляется задача по дальнейшему поиску путей реализации гибридной энергетической системы с дейтериево-урановым топливом. Данная работа направлена на определение характерных параметров такой установки при использовании Z-пинча [3] (рис. 1).

В ИПМ РАН им. М. В. Келдыша при расчете задачи IRRM по программе НЭТ [4] было получено достаточно длительное протекание дейтериевой плазменной струи, рассматриваемой как DD-топливо, через область Z-пинча ( $t \approx \approx 1208$  нс). Это было достигнуто за счет сокращения длины области Z-пинча от 500 до 100 см. При этом плазма не успевала оказаться в условиях перетяжки и выходила из области магнитного воздействия. Данный расчет, по мнению авторов настоящей статьи, де-

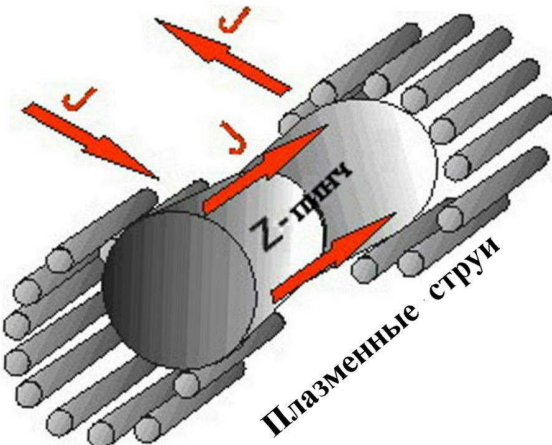


Рис. 1. Некоторые особенности гибридной (Fusion + Fission) энергетической системы на основе Z-пинча

монстрирует возможность *стационарного горения* DD с интенсивностью нейтронного излучения на уровне  $N_n \sim (0,42 \cdot 10^{15})/(120,8 \cdot 10^{-8}) \approx \approx 3,5 \cdot 10^{20} \text{ с}^{-1}$ , что соответствует мощности примерно 137,5 МВт. Мощность термоядерного энерговыделения без нейтронов — 255 МВт. Каждый нейtron с энергией 2,45 МэВ, попадая в уран и вызывая деление, производит энерговыделение 170 МэВ с коэффициентом размножения  $G_{fiss} = 2,5$ . Поэтому при эффективном использовании нейтронов в гибридной (Fusion + Fission) системе может быть получена мощность на уровне 24 ГВт.

<sup>1</sup>1 т ТЭ =  $4 \cdot 10^{16}$  эрг.

Принципиальные особенности рассматриваемой схемы энергетической установки:

- стационарность процесса;
- отрыв ионной температуры: в трехтемпературном приближении для характерных задач при термоядерном горении получается  $T_i > T_e > T_r$  (прозрачная малоплотная плазма);
- существенная подкритичность ( $G_{fiss} \sim 2,5$ ) ядерной сборки;
- высокая степень сжатия;
- малые потери энергии при возможном повороте плазменной струи.

Такие особенности схемы позволяют выделить специальную зону параметров плазмы, характерную для Z-пинчевых процессов (рис. 2).

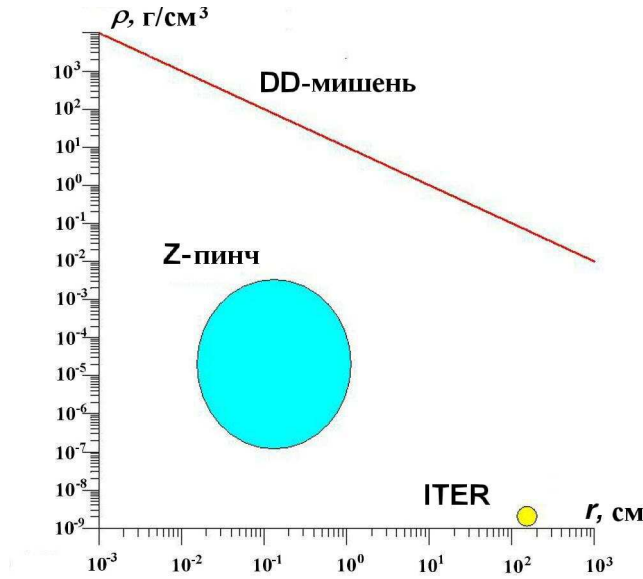


Рис. 2. Области параметров плазмы в различных энергетических системах

### Плазменная струя

Рабочее высказывание Д. Г. Кошкарёва (2008 г.) о возможности получения в ускорительной системе большого числа дейтериевых ионов ( $N_\Sigma \sim 10^{20}$ ) послужило началом для данных исследований по гибридной (Fusion + Fission) энергетической системе. Но для обеспечения функционирования энергетической системы на основе Z-пинча, конечно, важны и другие параметры плазменной струи, входящей в магнитную область.

Мощность и интенсивность струи, *облучающей* мишень, должны быть очень высокими, чтобы обеспечить существенную разницу температур  $T_i$ ,  $T_e$ ,  $T_r$ :

$$P_s = 0,7 \cdot 10^{26} \rho \pi r^2 \text{ эрг/с; } J_s = 0,7 \cdot 10^{26} \rho \text{ эрг/(см}^2 \cdot \text{с}).$$

При плотности в струе  $\rho \sim 10^{-4} \text{ г/см}^3$  мощность находится на уровне  $P_s \sim 0,7 \cdot 10^{26} \times \rho \pi r^2 \text{ эрг/с} \sim 20 \text{ ТВт}$  для радиуса  $r = 0,1 \text{ см}$ , а интенсивность  $J_s \sim 0,7 \cdot 10^{26} \rho \text{ эрг/(см}^2 \cdot \text{с}) \sim 700 \text{ ТВт/см}^2$ .

Получение таких параметров струи возможно только в сложной системе сложения и фокусировки струй даже при очень большом числе ( $\sim 10^4$ ) реальных источников дейтонов. В этой задаче приходится бороться как с предварительным разогревом плазмы (при сложении струй), так и за обеспечение высокой степени сжатия ( $\delta_\rho \sim 10^6$ ). В каком-то смысле данная задача является продолжением работ А. В. Забродина по безударному сжатию.

Однако в системе на основе Z-пинча имеется целый ряд особенностей, позволяющих достаточно реалистично оценивать возможность достижения нужных для энергетики параметров:

1. Магнитное давление  $p_H \sim 1/r^2$  создает определенное профилирование для улучшения сжатия.
2. Сжатие осуществляется не оболочкой, а магнитным давлением, что устраняет проблему перемешивания.
3. Система управления (струями) распределением интенсивности облучения мишени (по радиусу, углу, времени) создает дополнительные возможности для профилирования.

### Сжатие и нагрев плазмы

Высокие значения сжатия ( $\delta$ ) были получены в ряде расчетов. На рис. 3 показана ( $R, t$ )-диаграмма расчета VANTK с  $\delta \sim 10^4$ , полученная по программе Deira4 [5], а на рис. 4, 5 (см. также цветную вкладку) приведены результаты расчета задачи IPPM по программе НЗТ [4]. В предварительном расчете одномерной модели MAPL по этой программе было получено сжатие  $\delta > 10^9$  при задании давления на границе  $p = (8\pi)^{-1}(Hr_0/r)^2 \text{ дин/см}^2$  с  $H = 10^5 \text{ эрстед}$  ( $T_0 = 0,01 \text{ эВ}; \rho_0 = 10^{-8} \text{ г/см}^3; T_{\text{гр}} = 0$ ). Однако эти расчеты являются только некоторой иллюстрацией всей сложности задачи по достижению необходимых условий для сжатия и нагрева плазмы.

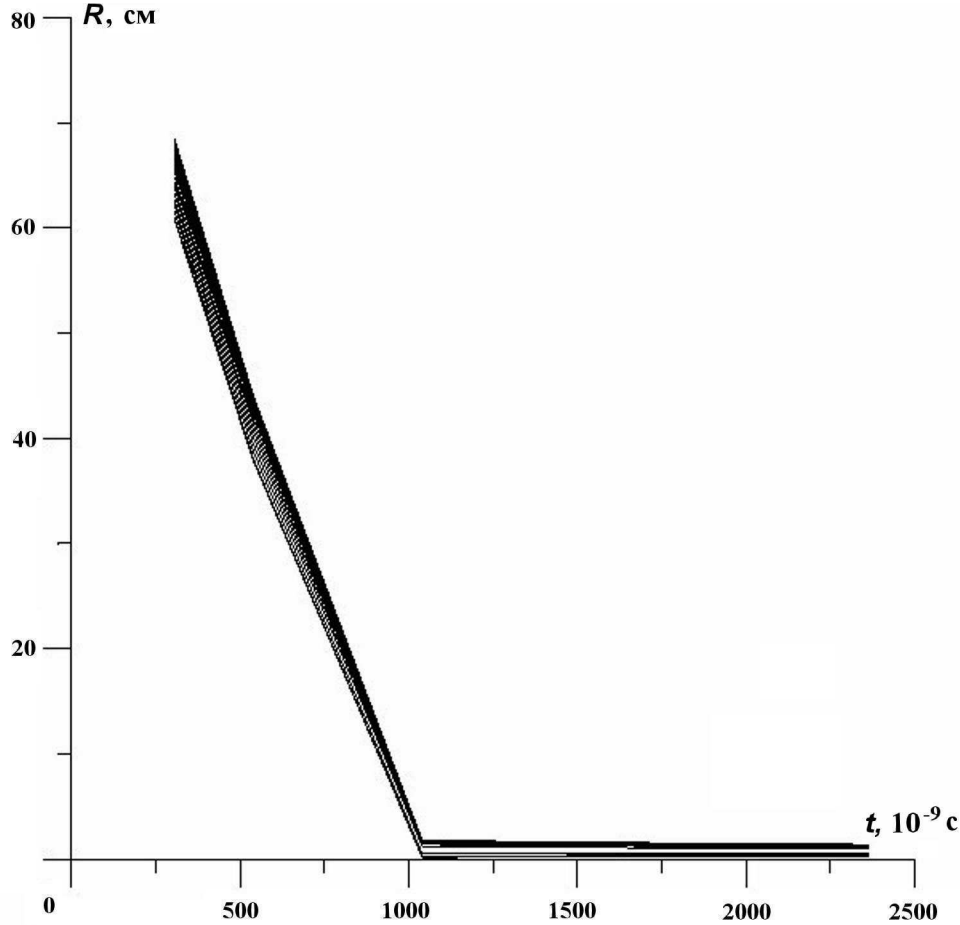


Рис. 3.  $(R, t)$ -диаграмма расчета VANTK

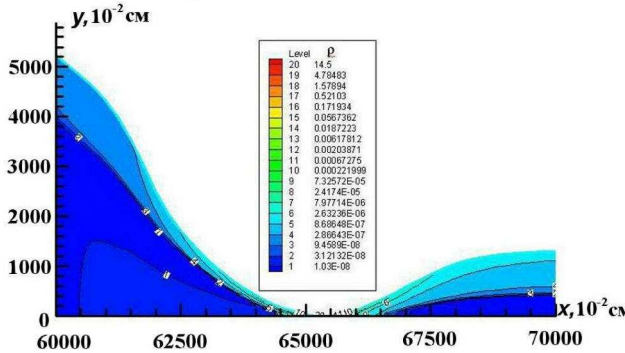


Рис. 4. Задача IPPM. Распределение плотности (в  $\text{г}/\text{см}^3$ ) в области пережатия на момент времени  $t = 32,6821 \cdot 10^{-8}$  с

В расчете VANTK, учитывающем магнитогидродинамические эффекты, вводилось специальное профилирование граничного тока  $J_z(t) \sim \sim 1/r$ . В этой задаче полая плазменная цилиндрическая оболочка ( $r_0 = 90-100$  см,  $\rho_0 = = 10^{-8}$  г/см $^3$ ) сжалась до плотностей  $\rho \sim \sim 10^{-4}$  г/см $^3$  при существенно неравновесных

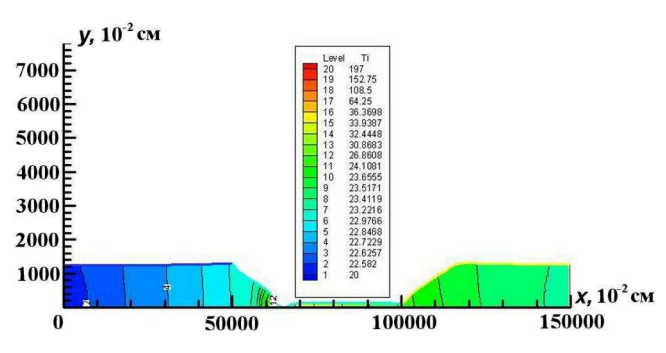


Рис. 5. Задача IPPM. Распределение температуры ионов  $T_i$  (в кэВ) во всей области на момент времени  $t = 32,6821 \cdot 10^{-8}$  с

значениях температур  $T_e \sim 20$  кэВ,  $T_i \sim 200$  кэВ,  $T_r \sim 0,01$  кэВ.

В задаче IPPM вещество — DD, уравнение состояния — для идеального газа с  $\gamma = 5/3$ ; заданы температуры ионов  $T_i$  и электронов  $T_e$ ; осесимметричная геометрия.

Начальные данные: плотность  $\rho_0 = 10^{-8}$  г/см<sup>3</sup>; размеры  $0 < x < 150\,000$  (по оси симметрии),  $0 < y < 10\,000$  (по радиусу); единица измерения — 10<sup>-2</sup> см; температура ионов и электронов  $T_i = T_e = 1$  кэВ; скорость струи плазмы вдоль оси симметрии  $v_0 = 500 \cdot 10^6$  см/с.

Границные условия: давление на верхней границе (в 10<sup>12</sup> дин/см<sup>2</sup>)

$$p = \begin{cases} p_0 = 0,96486 \cdot 10^{-5} \\ \text{при } 0 < x < 50\,000, \\ 100\,000 < x < 150\,000; \\ 4 \cdot 10^{-4} \left(\frac{y_0}{y}\right)^2, \quad y_0 = 10\,000, \\ \text{при } 50\,000 < x < 100\,000. \end{cases}$$

Левая и правая границы — эйлеровы. Тепловой поток на всех границах задан нулевым.

В двумерной задаче IPPM (см. рис. 4, 5, а также цветную вкладку) пока не удалось получить такого сжатия, как в VANTK, не говоря уже о результатах одномерного расчета MAPL.

Результаты этой группы расчетов свидетельствуют о необходимости учета в данной задаче и магнитных, и двумерных (трехмерных) эффектов.

### Масштаб энергетической системы

Основной характеристикой большинства термоядерных систем является значение коэффициента термоядерного усиления  $G$ . Для мишени инерциального термоядерного синтеза главная задача — получение коэффициента термоядерного усиления  $G = E_{fus}/E_0 \geq 100$ . При этом надежно обеспечивается замкнутость энергетического цикла.

В системах типа токамака в качестве рабочего числа часто принимается  $G = 10$ , что обеспечивает поддержание рабочих параметров плазмы (DD) в процессе горения.

В системе Z-пинча значение  $G$  не столь критично, так как рабочие параметры изначально заложены в параметрах задачи: для струи — в ее скорости, для магнитной системы — в величине продольного тока. Вместе с тем величина  $G$  позволяет оценить сложность задачи по уменьшению потерь энергии в гидродинамических и магнитных процессах.

Полагая, что скорость DD-реакции равна  $\langle\sigma v\rangle = 10^{-16}$  см<sup>3</sup>/с, характерную мощность энерговыделения в гибридной системе можно

выразить через энергию нейтрона  $\varepsilon_n \sim 2,45$  МэВ и энергию деления (при полном поглощении нейтронов на деление)  $\varepsilon_{fis} \sim 170G_{fis} \sim 425$  МэВ в виде

$$P_g = 1,2 \cdot 10^{31} \rho_0^2 r_0^2 L (\varepsilon_n + \varepsilon_{fis}).$$

Мощность струи, входящей в магнитную область:

$$P_s = 10^{24} \rho_0 r_0^2 v_0 \varepsilon_n.$$

Коэффициент термоядерного усиления  $G = P_g/P_s$  равен

$$G = 1,2 \cdot 10^7 \frac{\rho_0 L}{v_0} \frac{\varepsilon_n + \varepsilon_{fis}}{\varepsilon_n} = 1,2 \cdot 10^7 \rho_0 \tau \frac{\varepsilon_n + \varepsilon_{fis}}{\varepsilon_n}.$$

Если предположить, что процесс может продолжаться  $\tau \sim 10^{-3}$  с, то для дейтериевого топлива при  $\rho_0 = 10^{-4}$  получится коэффициент термоядерного усиления  $G_{DD} = 1,2$ . Для гибридной системы  $G_{F+F} = 137,7$ .

### Параметры гибридной (Fusion + Fission) системы

Гибридная энергетическая система стационарного горения на основе Z-пинча требует для характеристики своей функциональной способности введения таких новых параметров, как:

- мощность процессов деления и термоядерного горения  $P_{fis}, P_{fus}$ ;
- степень выгорания дейтерия и урана-238;
- мощность магнитной системы  $P_H$ ;
- потери и перераспределение энергии в термоядерной, делительной и магнитной системах.

Для сравнения с электроядерной системой необходимо определить такой параметр, как стоимость получения нейтрона для гибридной схемы.

В расчете ISRM (где вместо нулевого потока, как в IRRM, на боковых границах задана постоянная температура) получено  $N = 3 \cdot 10^{15}$  нейтронов за время  $\sim 3 \cdot 10^{-6}$  с при мощности входящей в магнитную область струи  $P_s = 2000$  ТВт ( $\rho_0 = 10^{-8}$  г/см<sup>3</sup>;  $R_0 = 100$  см), что соответствует стоимости нейтрона  $S_n = 10^7/N$  МэВ. Таким образом, для того чтобы сравняться по параметру  $S_n$  с электроядерной системой, в задаче ISRM необходимо увеличить эффективность горения (число рожденных нейтронов) в  $3 \cdot 10^5$  раз.

Характерные параметры рассматриваемого процесса можно представить в виде зависимостей от плотности  $\rho_0$ , размеров  $r_0$ ,  $L = v_0\tau$  и времени горения  $\tau$ :

$$\frac{dN}{dt} = 1,2 \cdot 10^{31} \rho_0^2 r_0^2 L.$$

Число дейтонов, входящих в магнитную область:

$$\frac{dN_v}{dt} = 10^{24} \rho_0 r_0^2 v_0.$$

При энергии дейтона  $\varepsilon_v = 1 \text{ МэВ} = 1,6 \cdot 10^{-6}$  эрг стоимость нейтрона  $S_n = E_v/N$  при  $E_v = \varepsilon_v N_v$  равна  $S_n = 6,4 \cdot 10^{-5} / \rho_0 L$ . Следует отметить, что при стремлении  $L$  или  $\tau = L/v_0$  к бесконечности  $S_n$  стремится к нулю.

Таким образом, проблема снижения стоимости получения нейтрона может быть переведена в проблему эффективности соответствующего дивертора, подобного дивертору в системе токамаков.

### Стационарная энергетическая система

Рассматриваемый нейтронный источник DD-нейтронов может служить основой для стационарной гибридной энергетической системы. Простейшее возражение против подобной системы связано с определением стоимости получаемого нейтрона. Если же это возражение отпадает, то следующим аргументом *против* может быть существование уже продвинутых разработок по системам на основе токамака. В этом смысле рассматриваемая система является дублирующей, но использующей несколько иные принципы.

Основным принципиальным отличием данной схемы является использование магнитного сдерживания с током  $J_z$ , что позволяет сместить рабочую область параметров по сравнению с токамаками в сторону больших плотностей  $\rho \sim 10^{-4} - 10^{-7} \text{ г}/\text{см}^3$  и снизить необходимое условие  $\rho r > \rho r_{\text{кр}}$  по сравнению с мишениями инерциального синтеза.

Другим принципиальным отличием является возможность обеспечить горение дейтерия в существенно неравновесном режиме с температурами  $T_i > T_e > T_r$  (в трехтемпературном приближении).

На рис. 6, 7 (см. также цветную вкладку) представлены значения температур ионов и

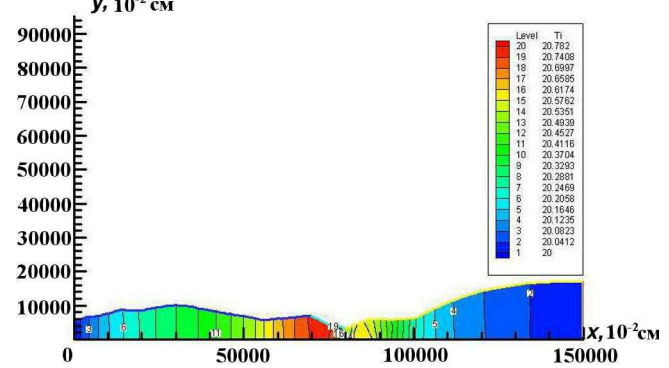


Рис. 6. Задача ISRM. Распределение температуры ионов  $T_i$  (в кэВ) во всей расчетной области на момент времени  $t = 288,9015 \cdot 10^{-8}$  с

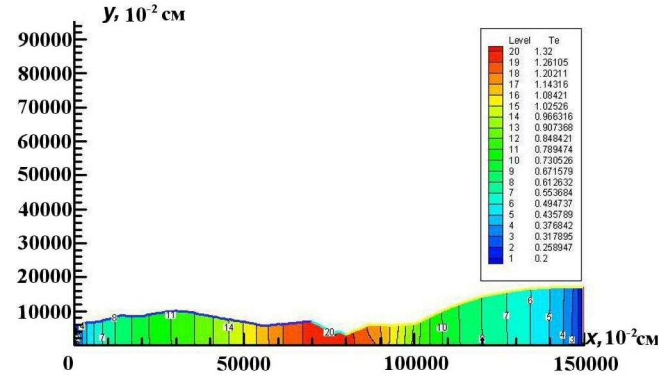


Рис. 7. Задача ISRM. Распределение температуры электронов  $T_e$  (в кэВ) во всей расчетной области на момент времени  $t = 288,9015 \cdot 10^{-8}$  с

электронов, полученные в задаче ISRM, рассчитанной в двухтемпературном приближении без учета излучения.

В задаче ISRM вещества — DD, уравнение состояния — для идеального газа с  $\gamma = 5/3$ ; заданы температуры ионов и электронов; осесимметрическая геометрия.

Начальные данные: плотность  $\rho_0 = 10^{-8} \text{ г}/\text{см}^3$ ; размеры  $0 < x < 150,000$  (по оси симметрии),  $0 < y < 10,000$  (по радиусу); единица измерения —  $10^{-2} \text{ см}$ ; температура ионов  $T_i = 20 \text{ кэВ}$ , электронов  $T_e = 0$ ; скорость струи плазмы вдоль оси симметрии  $v_0 = 500 \cdot 10^6 \text{ см}/\text{с}$ .

Границные условия: давление на верхней границе (в  $10^{12} \text{ дин}/\text{см}^2$ )

$$p = \begin{cases} p_0 = 0,96486 \cdot 10^{-4} & \text{при } 0 < x < 70\,000, \\ & 80\,000 < x < 150\,000; \\ 4 \cdot 10^{-4} \left( \frac{y_0}{y} \right)^2, & y_0 = 10\,000, \\ & \text{при } 70\,000 < x < 80\,000. \end{cases}$$

Левая и правая границы — эйлеровы. Тепловой поток на горизонтальных границах задан нулевым. На левой и правой вертикальных границах заданы температуры, равные начальным.

Важное значение на пути к реальной энергетической системе имеют возможность использования большого объемного сжатия (без перемещивания)  $\delta > 10^4$  и возможность снижения критичности проблемы развития неустойчивости при пролете струи через область магнитного поля.

Расчет задачи ISRM, демонстрирующий реальность стационарного процесса, позволяет также сделать оценку параметров рассматриваемой энергетической системы. На рис. 8 представлено развитие термоядерного энерговыделения системы при задании следующих характерных параметров:  $\rho_0 \sim 10^{-8} \text{ г/см}^3$ ;  $r_0 = 100 \text{ см}$ ;  $L_H = 100 \text{ см}$ .

В варианте ISRM возможно как существенное сокращение начального числа дейтонов в подготовленной струе до  $N_v = 3 \cdot 10^{20}$  ( $L = 10^5 \text{ см}$ ), так и значительное увеличение числа подобных Z-пинчевых участков в энергетической системе (например, до  $N_j = 100$ ). В этом случае мощность гибридной энергетической системы можно оценить как  $P_g \sim 1 \text{ ГВт}$ . Планируется непосредственная численная проверка такого вывода.

Такие параметры стационарной гибридной энергетической системы выглядят уже достаточно реалистично, а повышение эффективности горения, возможное благодаря системе управления струями, делает данную систему вполне надежной.

На рис. 9 представлены значения мощностей гибридной энергетической системы в зависимости от полного числа дейтонов ( $N_v$ ) в подготовленной струе плазмы. Линия 1 соответствует случаю сжатия в Z-пинчевой области до эффективного радиуса 0,1 см, линия 2 — до 1 см.

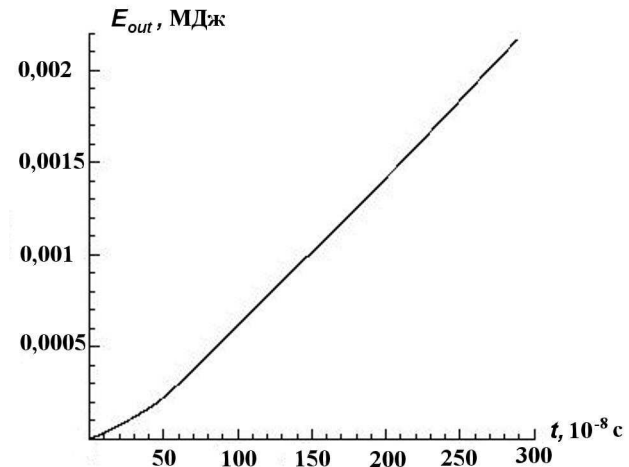


Рис. 8. Задача ISRM. Термоядерное энерговыделение в зависимости от времени

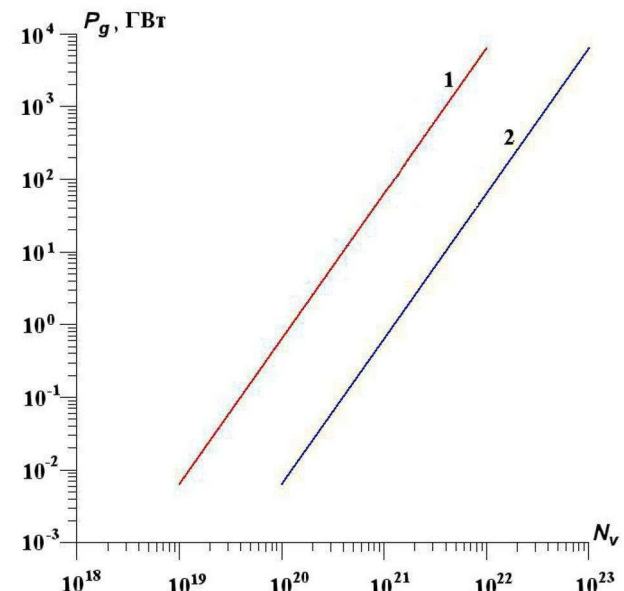


Рис. 9. Мощности гибридной энергетической системы в зависимости от полного числа дейтонов в подготовленной струе плазмы

## Заключение

Объединение систем ускорительной и Z-пинчевой техники позволяет создать непрерывный по времени источник нейтронов DD-реакции. Такой источник, в свою очередь, может служить основой для стационарной гибридной (Fusion + Fission) энергетической системы.

В данном рассмотрении область параметров гибридной энергетической системы оказывается достаточно широкой, с различными режимами работы (и различными трудностями в реализа-

ции) в разных точках этой области. Эффективные параметры плазмы в Z-пинчевой области горения могут быть выбраны как

$$\rho_0 \sim 10^{-7} \text{ г/см}^3; \quad r_0 = 0,1 \text{ см}; \quad v_0 = 5 \cdot 10^8 \text{ см/с.}$$

Эффективные параметры магнитной области:

$$J_z = 10 \text{ МА}; \quad L_H = 100 \text{ см.}$$

Полная длина области подготовленной струи плазмы:

$$L_\Sigma = 10^5 \text{ см.}$$

В этом случае мощность стационарной гибридной энергетической системы может быть оценена как  $P_g \sim 1 \text{ ГВт.}$

Работа выполнена при финансовой поддержке РФФИ (проект 08-01-00144).

### Список литературы

1. Кошкарёв Д. Г. Мощный компактный тяжелоионный драйвер: Препринт 21-03. М.: ИТЭФ, 2003.
2. Аксёнов А. Г., Баско М. М., Кошкарёв Д. Г., Забродина Е. А., Чуразов М. Д. Волна термоядерного горения дейтерия в цилиндрическом канале с оболочкой из урана-238 // Вопросы атомной науки и техники. Сер. Математическое моделирование физических процессов. Вып. 2. 2006. С. 33–36.
3. Имшенник В. С., Боброва Н. А. Динамика столкновительной плазмы. М.: Энергоатомиздат, 1997.
4. Забродин А. В., Прокопов Г. П. Методики численного моделирования двумерных нестационарных течений теплопроводного газа в трехтемпературном приближении // Вопросы атомной науки и техники. Сер. Математическое моделирование физических процессов. 1998. Вып. 3. С. 3–16.
5. Баско М. М. Уравнения одномерной радиационной гидродинамики с теплопроводностью и кинетикой термоядерного горения: Препринт 145. М.: ИТЭФ, 1985.

---

Статья поступила в редакцию 21.10.09.